

Лабораторная работа 2.3.1
Получение и измерение вакуума

Рябов Олег Б04-302

3 апреля 2024 г.

Цель работы: 1) измерение объемов форвакуумной и высоковакуумной частей установки; 2) определение скорости откачки системы в стационарном режиме, а также по ухудшению и улучшению вакуума.

В работе используются: вакуумная установка с манометрами: масляным, термopарным и ионизационным.

В данной работе используются традиционные методы откачки механическим форвакуумным насосом до давления 10^{-2} торр и диффузионным масляным насосом до давления 10^{-4} торр.

Экспериментальная установка. Установка изготовлена из стекла, и состоит из форвакуумного баллона (ФБ), высоковакуумного диффузионного насоса (ВН), высоковакуумного баллона (ВБ), масляного (М) и ионизационного (И) манометров, термopарных манометров (M_1 и M_2), форвакуумного насоса (ФН) и соединительных кранов (K_1, K_2, \dots, K_6) (Рис. 1). Кроме того, в состав установки входят: вариатор (автотрансформатор с регулируемым выходным напряжением), или реостат и амперметр для регулирования тока нагревателя диффузионного насоса.

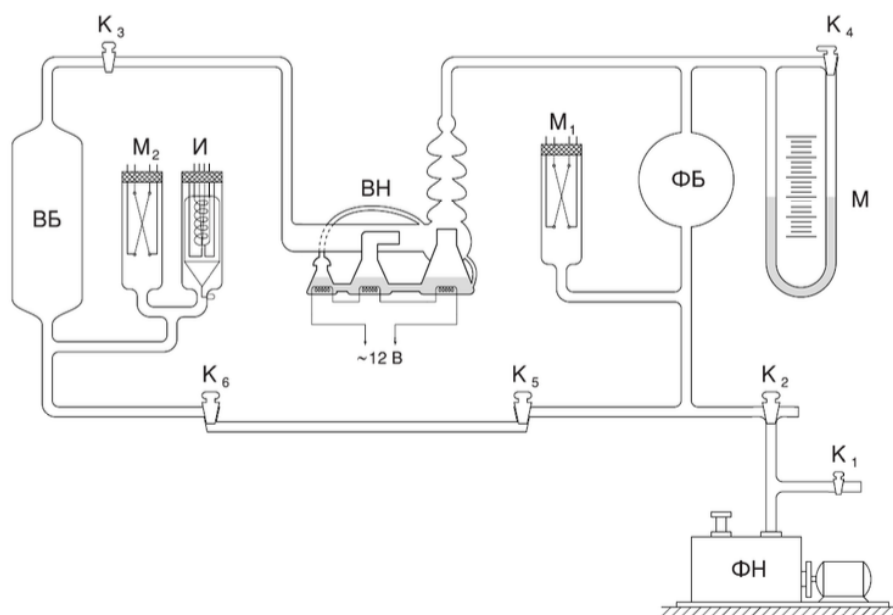


Рис. 1: Схема установки

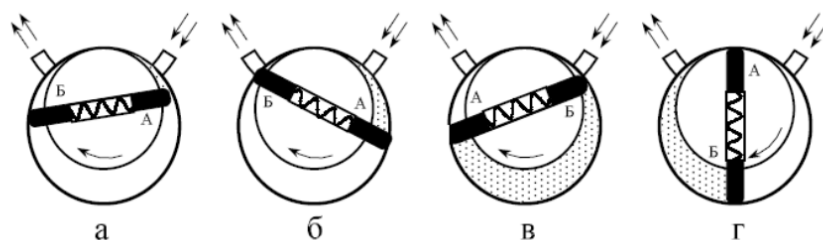


Рис. 2: Схема действия ротационного двухпластинчатого форвакуумного насоса

Кран K_1 используется для заполнения форвакуумного насоса и вакуумной установки атмосферным воздухом. Во время работы установки он должен быть закрыт. Трёхходовой кран K_2 служит для соединения форвакуумного насоса с установкой или атмосферой. Кран K_3 отделяет высоковакуумную часть установки от форвакуумной. Кран K_4 соединяет между собой колена масляного манометра. Он должен быть открыт во все время работы установки и закрывается лишь при измерении давления в форвакуумной части. Краны K_5 и K_6 стоят по концам капилляра и соединяют его с форвакуумной и высоковакуумной частями установки.

Устройство одной ступени масляного диффузионного насоса схематически показано на Рис. 3 (в лабораторной установке используется несколько откачивающих ступеней). Масло, налитое в сосуд, подогревается электрической печкой. Пары масла поднимаются по трубе и вырываются из сопла. Струя паров увлекает молекулы газа, которые поступают из откачиваемого сосуда через трубку. Далее смесь попадает в вертикальную трубу. Здесь масло осаждается на стенках трубы и маслосборников и стекает вниз, а оставшийся газ откачивается форвакуумным насосом.

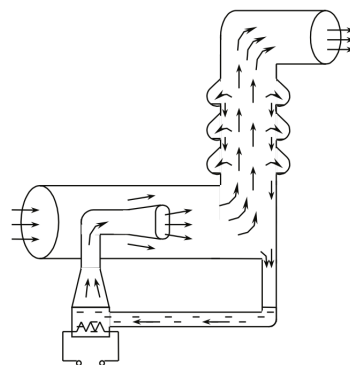


Рис. 3: Схема работы одной ступени диффузионного насоса

Процесс откачки

Опишем процесс откачки математически: Пусть W — объем газа, удаляемого из сосуда при данном давлении за единицу времени, Q_i для различных значений i обозначим различные притоки газа в сосуд (в единицах PV), такие как течи извне $Q_{\text{и}}$, десорбция с поверхностей внутри сосуда $Q_{\text{д}}$, обратный ток через насос $Q_{\text{н}}$. Тогда, приравнявая убыль газа из сосуда (с точностью до RT/μ) в единицу времени $-VdP$ и сумму перечисленных токов имеем:

$$-VdP = (PW - \sum_i Q_i)dt \quad (1)$$

При достижении предельного вакуума устанавливается давление $P_{\text{пр}}$, и $dP = 0$. Тогда

$$W = (\sum_i Q_i)/P_{\text{пр}} \quad (2)$$

Поскольку обычно $Q_{\text{и}}$ постоянно, а $Q_{\text{н}}$ и $Q_{\text{д}}$ слабо зависят от времени, также считая постоянной W , можем проинтегрировать (1) и получить:

$$P - P_{\text{пр}} = (P_0 - P_{\text{пр}}) \exp\left(-\frac{W}{V}t\right) \quad (3)$$

Полная скорость откачки W , собственная скорость откачки насоса $W_{\text{н}}$ и проводимости элементов системы C_1, C_2, \dots соотносятся согласно формуле (4), и это учтено в конструкции установки.

$$\frac{1}{W} = \frac{1}{W_{\text{н}}} + \frac{1}{C_1} + \frac{1}{C_2} + \dots \quad (4)$$

Течение газа через трубу

Характер течения газа существенно зависит от соотношения между размерами системы и длиной свободного пробега молекул. При атмосферном и форвакуумном давлениях длина свободного пробега меньше диаметра трубок, и течение газа определяется его вязкостью, т.е. взаимодействием молекул. При высоком вакууме течение существенно определяется взаимодействием со стенками

Для количества газа, протекающего через трубу длины l и радиуса r в условиях высокого вакуума, справедлива формула:

$$\frac{d(PV)}{dt} = \frac{4}{3}r^3 \sqrt{\frac{2\pi RT}{\mu}} \frac{P_2 - P_1}{l} \quad (5)$$

Если труба соединяет насос установку, то давлением P_1 у насоса можно пренебречь. Давление в сосуде $P = P_2$. Тогда имеем:

$$C_{\text{тр}} = \left(\frac{dV}{dt} \right)_{\text{тр}} = \frac{4r^3}{3l} \sqrt{\frac{2\pi RT}{\mu}} \quad (6)$$

Ход работы

Определение объёмов форвакуумной и высоковакуумной частей установки.

1. Перед началом работы проверим, что все краны приведены в правильное положение.

2. Запустим воздух в систему (для этого нужно открыть кран K_2 и подождать пару минут пока воздух заполнит установку).

3. Запустим форвакуумный насос, чтобы он откачал воздух из установки.

Пронаблюдаем за тем, как давление в установке уменьшается и продолжим откачку до момента, пока давление не будет порядка 10^{-2} мм рт. ст.. Запишем итоговое значение:

$$P_0 = (2.0 \pm 0.1) \cdot 10^{-2} \text{ мм рт. ст.}$$

4. Отсоединим установку от форвакуумного насоса, а затем объём, заключенный в кранах и капиллярах форвакуумной части, откроем на всю форвакуумную часть. Тогда давление изменится

5. Запишем показания маслянного манометра, а именно высоту масла в обоих коленах:

$$h_1 = (35.0 \pm 0.1) \text{ см масл. ст.}, \quad h_2 = (4.0 \pm 0.1) \text{ см масл. ст.},$$

$$\sigma_{\Delta h} = \sqrt{\sigma_{\Delta h1}^2 + \sigma_{\Delta h2}^2} \approx 3\%$$

$$\Delta h_{\text{фв}} = (31.0 \pm 0.8) \text{ см масл. ст.}$$

6. Зная объём "запертой" части установки $V_{\text{кап}} = 50 \text{ см}^3$ (он указан на установке) и используя соотношение $P_1/P_2 = V_2/V_1$ вычислим объём форвакуумной части установки. При этом давление $P_1 = P_{\text{атм}} = (101.4 \pm 0.05) \text{ кПа}$ $P_2 = \Delta h_{\text{фв}} \rho_{\text{масл}} g$, а относительная погрешность полученного значения равна относительной погрешности величины $\Delta h_{\text{фв}}$ $\varepsilon_V = \varepsilon_{P_1} \approx 3\%$ (пренебрегаем погрешностью измерения атмосферного давления $\varepsilon_{P_{\text{атм}}} \approx 0.05\%$) и в результате имеем:

$$V_{\text{фв}} = (1.88 \pm 0.06) \text{ л}$$

7. Проведём те же самые измерения с диффузионным насосом и получим объём установки, из которой вычитанием объёма форвакуумной части получается объём высоковакуумной части.

$$h_1 = (29 \pm 0.1) \text{ см масл. ст.}, \quad h_2 = (9 \pm 0.1) \text{ см масл. ст.},$$

$$\Delta h_{\text{ВВ}} = (20 \pm 0.7) \text{ см масл. ст.},$$

Погрешности высот определяются аналогично предыдущему пункту.

$$\varepsilon_V = \varepsilon_{P_2} \text{ (пренебрегаем погрешностью измерения атмосферного давления } \varepsilon_{P_{\text{атм}}} \approx 0.05\%)$$

$$V = V_0 \frac{P_1}{P_2} \approx (2.91 \pm 0.09) \text{ л},$$

$$\sigma_{V_{\text{ВВ}}} = \sqrt{\sigma_{V_{\text{ФВ}}}^2 + \sigma_V^2} \approx 0.11 \text{ л},$$

В результате искомая величина равна:

$$V_{\text{ВВ}} = (1.03 \pm 0.11) \text{ л}.$$

Получение высокого вакуума и измерение скорости откачки.

8. Не выключая форвакуумного насоса убедимся в том, что в установке не осталось запертых объёмов.

9. Откачав установку до давления порядка 10^{-2} мм рт. ст., приступим к откачке ВВ с помощью диффузионного насоса.

10. С помощью термомпарного манометра наблюдаем за тем, как идёт откачка ВВ. Мы должны продолжать процесс откачки до тех пор, пока там не установится давление порядка $3 \cdot 10^{-4}$ мм рт. ст. При приближении давления к этой величине масло в диффузионном насосе закипит, поэтому подсчитаем количество капель, стекающих из сопла второй ступени диффузионного насоса:

$$N = 16 \text{ капель}.$$

11. С помощью ионизационного манометра измерим значение предельного давления в системе со стороны высоковакуумной части:

$$P_{\text{пр}} = (6.0 \pm 0.1) \cdot 10^{-5} \text{ мм рт. ст.}$$

12. Найдём скорость откачки по ухудшению и улучшению вакуума, для этого открывая и закрывая кран K_3 будем то подключать насос к объёму, то отключать его, при этом на видео зафиксируем показания манометра от времени и занесём полученные результаты в Таблицу 1 и

построим графики необходимых зависимостей (каких именно подробнее описано в соответствующих пунктах ниже), для которых определим коэффициенты наклона прямых и их погрешности (с помощью МНК), полученные результаты также зафиксируем в Таблице 1. Так же запишем итоговое значение для коэффициента наклона прямых, которое является средним из двух полученных, а его погрешность вычисляется по формуле $\sigma_k = \sqrt{\sigma_{k_1}^2 + \sigma_{k_2}^2}$ или же полуразность k_1 и k_2 , если вдруг эти значения не будут совпадать в пределах погрешности k_1 и k_2 .

Таблица 1: Результаты измерений

Улучшение				Ухудшение			
$P, \cdot 10^{-5}$ торр	t, c	$P, \cdot 10^{-5}$ торр	t, c	$P, \cdot 10^{-5}$ торр	t, c	$P, \cdot 10^{-5}$ торр	t, c
53	0	64	0	6.2	0	6.7	0
48	1	60	1	9.4	7	13	7
35	2	50	2	15	14	20	14
28	3	36	3	20	21	25	21
25	4	29	4	26	28	31	28
21	5	24	5	31	35	36	35
16	6	20	6	35	42	42	42
14	7	17	7	40	49	49	49
12	8	15	8	45	56	54	56
12	9	13	9	50	63	59	63
10	10	12	10	55	70	64	70
9.3	11	10	11	59	77	69	77
8.7	12	9.1	12	64	84		
8.5	13	8.8	13	69	91		
8.1	14	8.1	14				
$k_1 = -(0.233 \pm 0.002) \text{ c}^{-1}$ $k_2 = -(0.245 \pm 0.003) \text{ c}^{-1}$ $k_{cp} = -(0.239 \pm 0.006) \text{ c}^{-1}$				$k_1 = (0.699 \pm 0.005) \cdot 10^{-5} \text{ торр} \cdot \text{c}^{-1}$ $k_2 = (0.810 \pm 0.005) \cdot 10^{-5} \text{ торр} \cdot \text{c}^{-1}$ $k_{cp} = (0.76 \pm 0.07) \cdot 10^{-5} \text{ торр} \cdot \text{c}^{-1}$			

Сначала проведём вычисления для коэффициента k , полученного при улучшении вакуума (для этого мы строили графики зависимости $\ln((P - P_0)/(P_0 - P_{\text{пр}}))$ от t). Поскольку $W = -kV_{\text{вв}}$, то $\varepsilon_W = \sqrt{\varepsilon_k^2 + \varepsilon_{V_{\text{вв}}}^2} \approx 4\%$, в результате имеем:

$$W = (0.25 \pm 0.01) \text{ л/с.}$$

13. Оценим величину потока газа $Q_{\text{н}}$. Для этого воспользуемся данными, полученными при ухудшении вакуума. А именно построим графики зависимости $P(t)$ и определим для них коэффициенты угла наклона прямой. Поскольку $V_{\text{вв}}dP = (Q_{\text{д}} + Q_{\text{и}})dt$ получим $(Q_{\text{д}} + Q_{\text{и}}) = kV_{\text{вв}} = (0.78 \pm 0.08) \cdot 10^{-5} \text{ торр} \cdot \text{л/с}$ (Погрешность рассчитывается по формуле $\varepsilon = \sqrt{\varepsilon_k^2 + \varepsilon_{V_{\text{вв}}}^2} \approx 10\%$).

Используя формулу $Q_{\text{н}} = P_{\text{пр}}W - (Q_{\text{д}} + Q_{\text{и}})$, а значит $\varepsilon_{Q_{\text{н}}} = \sqrt{\varepsilon_{P_{\text{пр}}W}^2 + \varepsilon^2} \approx 11\%$ получим, что:

$$Q_{\text{н}} = (0.72 \pm 0.08) \cdot 10^{-5} \text{ торр} \cdot \text{л/с.}$$

14. Оценим пропускную способность трубки по формуле (6):

$$L = (10 \pm 1) \text{ см; } d = (0.8 \pm 0.1) \text{ мм.}$$

$$C_{\text{тр}} = (1.0 \pm 0.2) \cdot 10^{-8} \text{ торр} \cdot \text{л/с.}$$

Погрешность $C_{\text{тр}}$ оценена как корень из суммы квадратов погрешностей длины и диаметра (которые явным образом не указаны на установке, поэтому скорее всего оценка довольно грубая).

15. Введём в систему искусственную течь и запишем значение установившегося при этом давления и давления $P_{\text{фв}}$:

$$P_{\text{уст}} = (1.1 \pm 0.1) \cdot 10^{-4} \text{ торр.}$$

$$P_{\text{фв}} = (2.5 \pm 0.1) \cdot 10^{-3} \text{ торр.}$$

16. Поскольку

$$P_{\text{пр}}W = Q_1, \quad P_{\text{уст}}W = Q_1 + \frac{d(PV)_{\text{кап}}}{dt},$$

то

$$W = \frac{d(PV)_{\text{кап}}}{dt} \frac{P_{\text{фв}}}{P_{\text{уст}} - P_{\text{пр}}} = (0.22 \pm 0.05) \text{ см}^3 \cdot \text{с};$$

(Поскольку давления померены с точностью не менее 10%, то можно учитывать погрешность, вносимую величиной $\frac{d(PV)_{\text{кап}}}{dt}$ относительная

погрешность которой равна относительной погрешности $C_{\text{тр}}$, то есть составляет 20%)

17. Следуя указаниям в методичке выключаем установку.

В ходе данной работы было проверено несколько методик по измерению производительности высоковакуумного насоса. Правда полученные нами значения не совпадают даже в пределах погрешности и отличаются в несколько раз. Возможно этот эффект возникает из-за того, что пропускная способность капилляра настолько сильно занижает скорость откачки. Удалось проверить законы, в соответствии с которыми вакуум в установке ухудшается и улучшается, в хорошем результате помогают убедиться графики, на которых прослеживается достаточно чёткая линейная зависимость (для улучшения вакуума – линейная зависимость $\ln((P - P_0)/(P_0 - P_{\text{пр}}))$ от t , а для ухудшения – $P(t)$).